

بررسی مدل‌های مختلف قطر- ارتفاع مرز (*Carpinus betulus L.*) در توده‌های جنگلی ناهمسال شصت کلاته گرگان

جهانگیر محمدی^{۱*} و شعبان شتایی^۲

^۱*- نویسنده مسئول، استادیار، گروه جنگل‌داری، دانشکده علوم جنگل، دانشگاه علوم کشاورزی و منابع طبیعی گرگان، گرگان، ایران

پست الکترونیک: mohamadi.jahangir@gmail.com

۲- دانشیار، گروه جنگل‌داری، دانشکده علوم جنگل، دانشگاه علوم کشاورزی و منابع طبیعی گرگان، گرگان، ایران

تاریخ پذیرش: ۹۵/۰۱/۱۸

تاریخ دریافت: ۹۴/۱۲/۰۴

چکیده

بررسی دقیق توسعه توده در طول زمان به دقت مدل‌های قطر- ارتفاع وابسته است. در پژوهش پیش‌رو قابلیت به‌کارگیری مدل‌های مختلف قطر- ارتفاع برای برآورد دقیق ارتفاع درختان مرز (*Carpinus betulus L.*) در توده‌های ناهمسال آمیخته نامنظم در بخشی از سری‌های یک و دو جنگل شصت کلاته گرگان ارزیابی شد. ۳۰۸ قطعه‌نمونه دایره‌ای شکل به‌مساحت ۱۰ آر و بهروش تصادفی- منظم به‌ابعاد شبکه 150×200 متر و با شدت $3/23$ درصد در جنگل مورد مطالعه پیاده شد. در تمام قطعات نمونه، مشخصه‌های گونه، قطر برابر سینه و ارتفاع تمام درختان مرز با قطر برابر سینه بیشتر از $12/5$ سانتی‌متر اندازه‌گیری و ثبت شد. در مجموع ۲۱۷۷ جفت مشاهده قطر- ارتفاع اندازه‌گیری و ثبت شد که 75 درصد 1631 درخت در فرآیند مدل‌سازی و 25 درصد 546 درخت) برای ارزیابی مدل‌های برآورده استفاده شدند. با استفاده از 18 مدل رگرسیونی غیرخطی، ارتباط بین ارتفاع به‌عنوان متغیر وابسته و قطر به‌عنوان متغیر مستقل بررسی و تجزیه و تحلیل شد. نتایج بدست آمده نشان داد که نتایج معیارهای ارزیابی مدل، تفاوت زیادی با یکدیگر نداشتند و از نظر آماری به‌جز مدل پروردان، تفاوت معنی‌داری بین مقادیر برآورده شده با استفاده از مدل‌های مختلف و مقادیر واقعی در سطح اطمینان 95 درصد وجود نداشت. همچنین چهار مدل رگرسیونی غیرخطی هایبروبولیک، راتکوفسکی، چاپمن- ریچارد و ویبول با درصد مجدور میانگین مربوطات خطای بهترتب $12/91$ ، $12/92$ ، $12/91$ و $13/01$ درصد و درصد اریبی بهترتب $0/21$ ، $0/22$ و $0/20$ درصد، نتایج مشابه و نزدیک به‌هم داشتند و توانایی خوبی برای برآورد ارتفاع درختان مرز با دقت مناسب داشتند. این مدل‌ها می‌توانند در برآورد ارتفاع درختان مرز در صورت تأیید و تکرار این نتایج در مناطق جنگلی دیگر شمال ایران، در جنگل‌های پهن‌برگ استفاده شوند.

واژه‌های کلیدی: آماربرداری، شصت کلاته گرگان، مدل قطر- ارتفاع، مرز.

مقدمه

جنگل‌های هیرکانی است که در دهه‌های اخیر به دلایل متعدد دستخوش تغییرات زیادی شده است که حفظ، دوام و بقای آن، پایش مداوم، چاره‌اندیشی و تمهیدات همه‌جانبه را می‌طلبد. بهمین دلیل کسب اطلاعاتی دقیق و بهنگام از

مدیریت پایدار و برنامه‌ریزی صحیح منابع جنگلی به اطلاعات دقیق و با کیفیت زیاد از وضعیت حال و آینده جنگل نیازمند است. یکی از این بوم‌سازگان‌های حیاتی،

مهم است (Peng *et al.*, 2001; Özçelik *et al.*, 2013). تاکنون مدل‌های خطی و غیرخطی زیادی برای گونه‌های مختلف در مناطق مختلف پیشنهاد شده است که اغلب برای توده‌های همسال یا جنگل‌کاری‌ها استفاده شده‌اند. مدل‌های قطر- ارتفاع در رویشگاه‌های مختلف و برای گونه‌های مختلف، متفاوت هستند و حتی در توده‌های همسال و خالص نیز در همه موقعیت‌ها یکسان نیستند (Dorado *et al.*, 2006). در توده‌های ناهمسال و نامنظم، درختان از نظر سن، گونه، اندازه، تاج، کیفیت رویشگاه، تراکم توده و موقعیت نسبی درختان در توده متفاوت هستند و اجرای شیوه تک‌گربنی و تغییرات دینامیک توده نیز باعث ایجاد تغییرات می‌شود (Vargas-Larreta *et al.*, 2009). بنابراین روابط قطر- ارتفاع در این توده‌ها همیشه ثابت نیست و به سختی می‌توان آن را برازش داد.

مطالعات زیادی در خارج از کشور در مورد برازش مدل‌های قطر- ارتفاع برای گونه‌های مختلف انجام شده است، در حالی‌که مطالعات کمی در ایران در مورد بهکارگیری مدل‌های مختلف قطر- ارتفاع در شرایط رویشگاهی متفاوت انجام شده است. Ahmadi و همکاران (۲۰۱۳) مدل‌های غیرخطی قطر- ارتفاع را برای راش در جنگل آموزشی- پژوهشی دانشگاه تربیت‌مدرس، بررسی و تجزیه و تحلیل کردند. نتایج به‌دست‌آمده از این بررسی نشان داد که میانگین مجدور مربعات خطأ بین سه تا چهار متر بود و مدل چاپمن ریچارد به عنوان بهترین مدل انتخاب شد. Huang و همکاران (۱۹۹۲) با استفاده از مدل‌های غیرخطی، مناسب‌ترین مدل برای گونه‌های اصلی را بررسی و انتخاب کردند. نتایج به‌دست‌آمده از پژوهش آنها نشان داد که مدل‌های واپیول، لجستیک متعدد شده، چاپمن ریچارد و استنات نتایج خوبی را داشتند. Zhang (۱۹۹۷) شش مدل غیرخطی را برای رابطه قطر- ارتفاع درختان در جنگل‌های شمال غرب ایالات متحده آمریکا برازش داد و نتایج مطالعه‌ی نشان داد که مدل استنات، واپیول و ریچارد چاپمن بهتر توانسته‌اند ارتفاع درختان را برآورد کنند. Bailey و Fang (۱۹۹۸) ۳۳ مدل قطر- ارتفاع را برای جنگل‌های تروپیکال

وضعیت کمی این منابع جنگلی در برنامه‌ریزی و مدیریت صحیح این منابع، از اولویت زیادی برخوردار است. مشخصه‌های قطر برابر سینه و ارتفاع درختان، از مهم‌ترین مؤلفه‌های مورد نیاز در آماربرداری جنگل هستند. اندازه‌گیری ارتفاع درختان نسبت به قطر برابر سینه به‌دلیل نیاز به زمان بیشتر برای اندازه‌گیری، احتمال خطای مشاهداتی و موانع موجود برای دید رفتن به بن و نوک درختان، مشکلتر، زمان‌برتر و پرهزینه‌تر است (Castedo *et al.*, 2006; Vargas- Larreta *et al.*, 2009). در آماربرداری جنگل در بیشتر کشورها، فقط ارتفاع تعداد Castedo *et al.*, (2006; Lumbres *et al.*, 2011) با توجه به رابطه قوی و تنگاتنگ قطر برابر سینه و ارتفاع درختان، برای پیش‌بینی دقیق ارتفاع درختان دیگر، باید از مدل‌های قطر- ارتفاع Castano-Santamaria *et al.*, (2013) دقیق استفاده شود. این مدل‌ها ابزاری مهم برای اهداف مدیریتی در جنگل‌های پهن‌برگ، ناهمسال و نامنظم هیرکانی هستند. مدل‌های قطر- ارتفاع، کاربردهای زیادی در مدیریت جنگل مانند برآورد Huang *et al.*, (1992; Newton & Ampsonah, 2007) ساختار توده (Morrison *et al.*, 1992; Gadow *et al.*, 1992; Sharma, 2001)، تعیین مدل‌های محصول و رویش درختان (Zhang, 2004 & Zhang, 2004)، تعیین ارتفاع غالب و شاخص رویشگاه Yuancai & Parresol, 2001) و پایداری توده و ارزیابی خسارت (Parresol, 1992) دارند.

با توجه به رویکرد جدید مدیریت جنگل‌های هیرکانی در سال‌های اخیر براساس اهداف جنگل‌داری چندمنظوره، مدیران برای ارزیابی مدل‌های پیش‌بینی رویش و محصول در راستای مدیریت پایدار این منابع، به روابط قطر- ارتفاع دقیق نیاز دارند، بنابراین مدل‌های قطر- ارتفاع برای درک بهتر روابط مختلف در طبیعت، توصیف و بررسی تفاوت‌ها و تأثیرگذاری در توسعه اکوسیستم‌های جنگلی ضروری هستند و دقت این مدل‌ها برای تهیه جداول حجم دقیق و پیش‌بینی هرچه دقیق‌تر مدل‌های رویش و محصول بسیار

همسال یا جنگلکاری بوده‌اند و کمتر برای توده‌های ناهمسال و آمیخته انجام شده‌اند و مجدور میانگین مربعات خطا بین دو تا چهار متر به دست آمده است. مدل‌های قطر- ارتفاع در رویشگاه‌های مختلف، گونه‌های مختلف و حتی در موقعیت‌های مختلف و نامنظم بودن درختان از نظر سن، گونه، اندازه، تاج، کیفیت رویشگاه، تراکم توده و موقعیت نسبی درختان متفاوت است. روابط قطر- ارتفاع در این توده‌ها همیشه ثابت نیست و به سختی می‌توان آنها را برآش داد. این مدل‌ها ابزاری مهم برای اهداف مدیریتی در جنگل‌های پهنه‌برگ، ناهمسال و نامنظم هیرکانی برای تهییه جدول حجم تاریف دقیق هستند، بنابراین هدف از پژوهش پیش‌رو به کارگیری مدل‌های مختلف قطر- ارتفاع و انتخاب بهترین مدل برای یکی از گونه‌های مهم اقتصادی جنگل‌های هیرکانی یعنی مرز (*Carpinus betulus* L.) بود که در توده‌های ناهمسال آمیخته و نامنظم در بخشی از سری‌های یک و دو جنگل شصت‌کلاته گرگان انجام شد.

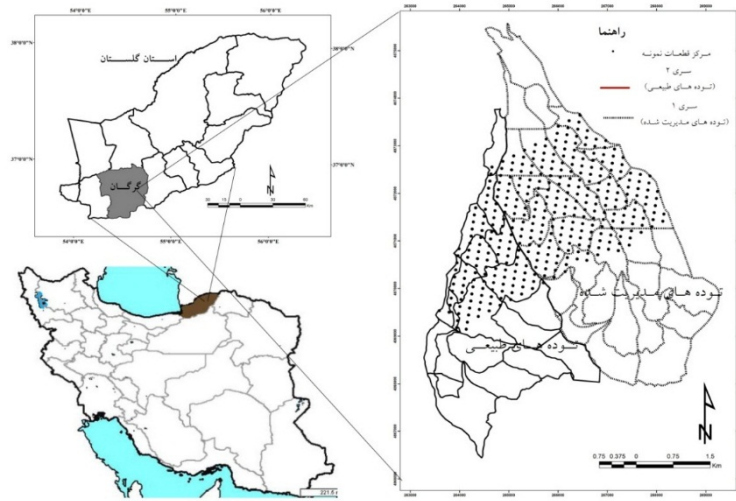
مواد و روش‌ها

منطقه مورد مطالعه

منطقه مورد مطالعه در سری‌های یک و دو طرح جنگل‌داری دکتر بهرام‌نیا (شصت‌کلاته) در حوزه آبخیز ۸۵ اداره کل منابع طبیعی استان گلستان و در جنوب شرقی شهر گرگان با طول جغرافیایی ۵۴° تا ۵۶° شرقی و عرض جغرافیایی ۳۶° تا ۴۲° شمالی واقع شده است (شکل ۱). جهت عمومی دامنه این جنگل‌ها شمال غربی است و در محدوده ارتفاعی ۲۰۰ تا ۱۲۰۰ متری از سطح دریا واقع شده‌اند. مساحت کل سری یک (توده مدیریت‌شده) و سری دو (توده طبیعی) به ترتیب ۱۷۱۴ و ۱۹۹۲ هکتار است. جنگل آموزشی دکتر بهرام‌نیا براساس اطلاعات ۱۰ ساله ایستگاه کلیماتولوژی هاشم‌آباد در فاصله پنج کیلومتری شمال منطقه طرح، از نظر طبقه‌بندی اقلیمی آمبرژه، اقلیم مرطوب معتدل دارد. میزان بارندگی متوسط سالانه آن ۶۴۹ میلی‌متر است که بین ۵۲۸ تا ۸۱۷ میلی‌متر متغیر است.

جزیره هاینان چین مورد بررسی و تجزیه و تحلیل قرار دادند و نتایج آنها نشان داد که میانگین مجدور مربعات خطا بین دو تا چهار متر بود. Peng و همکاران (۲۰۱۱) شش مدل غیرخطی را برای بررسی رابطه قطر- ارتفاع نه گونه اصلی جنگل‌های بورآل استفاده کردند. نتایج آنها نشان داد که مدل چاپمن ریچارد، وایبول و اسنات بهتر توانسته‌اند ارتفاع درختان را برآورد کنند. Lumbres و همکاران (۲۰۱۱) مدل‌های قطر- ارتفاع سه گونه کاج و لاریکس را در جنوب کره بررسی کردند. نتایج به دست آمده از تحقیق آنها نشان داد که مدل لجستیک بهینه‌شده و مدل لاندکویست- کورف در مقایسه با مدل‌های دیگر نتایج بهتری را ارایه داده‌اند. Özçelik و همکاران (۲۰۱۳) پیش‌بینی ارتفاع درختان ارس (*Juniperus excelsa*) جنوب و جنوب غرب ترکیه را با استفاده از شبکه‌های عصبی مصنوعی، مدل غیرخطی با اثرات آمیخته و مدل‌های غیرخطی کلاسیک بررسی کردند. نتایج به دست آمده از پژوهش آنها نشان داد که دو مدل شبکه عصبی مصنوعی و مدل غیرخطی با اثرات آمیخته دارای دقت بیشتری نسبت به مدل‌های دیگر بودند و میانگین مجدور مربعات خطا را در حدود ۲۰ درصد در مقایسه با مدل‌های غیرخطی کلاسیک کاهش دادند. Castano-Santamaria و همکاران (۲۰۱۳) روش‌های برآورد ارتفاع توده‌های ناهمسال شمال غرب اسپانیا را بررسی و تجزیه و تحلیل کردند. نتایج به دست آمده از تحقیق آنها نشان داد که مدل‌های با اثرات آمیخته، میزان میانگین مجدور مربعات خطا را در حدود ۲۲ درصد نسبت به مدل‌های غیرخطی کاهش داده‌اند. Temesgen و همکاران (۲۰۱۴) مدل‌های قطر- ارتفاع را در جنگل‌های آمیخته چندashکوبه شمال شرق چین بررسی کردند. نتایج به دست آمده از تحقیق آنها نشان داد که خطای میانگین مجدور مربعات خطا بین دو تا چهار متر بود.

جمع‌بندی و بررسی منابع موجود در مورد برآش مدل‌های مختلف قطر- ارتفاع نشان می‌دهد که نتایج با توجه به مناطق مورد مطالعه و توده‌های جنگلی مورد بررسی متفاوت بوده است. اغلب مطالعات برای توده‌های



شکل ۱- موقعیت منطقه مورد مطالعه در ایران و استان گلستان و موقعیت قطعات نمونه

تحلیل آماری داده‌ها

تجزیه و تحلیل داده‌های کمی قطر و ارتفاع از طریق بررسی اولیه آماره‌های توصیفی این داده‌ها انجام شد. برای شناسایی اعداد پرت از رسم نمودار جعبه‌ای و پراکنش باقیمانده‌ها در برابر مقادیر مشاهده شده (\hat{Y}_i) استفاده شد. نرمال بودن داده‌ها با استفاده از آزمون کولموگروف-سمیرنوف بررسی شد. در پژوهش پیش‌رو برای محاسبات آماری، اجرای مدل‌های رگرسیونی غیرخطی و پردازش اطلاعات جمع‌آوری شده از عملیات زمینی مربوط به قطر و ارتفاع و از نرم‌افزارهای R و Curve Expert استفاده شد. از ۲۱۷۷ درخت مرز اندازه‌گیری شده، ۷۵ درصد (۱۶۳۱ درخت) در فرآیند مدل‌سازی به کار گرفته شدند و ۲۵ درصد (۵۴۶ درخت) بقیه برای ارزیابی مدل‌های برآورده استفاده شدند. با استفاده از انواع مدل‌های رگرسیونی غیرخطی، ارتباط بین ارتفاع به عنوان متغیر وابسته و قطر به عنوان متغیر مستقل بررسی و تجزیه و تحلیل شد. براساس بررسی سوابق تحقیق، ۱۸ مدل قطر- ارتفاع برای بررسی رابطه قطر- ارتفاع انتخاب شدند که پیشتر در مطالعات دیگر استفاده شده‌اند (جدول ۱).

روش پژوهش

با توجه به این‌که هدف اصلی پژوهش پیش‌رو بررسی رابطه قطر- ارتفاع مرز بود، نیاز به تعدادی قطعات نمونه برای برآورد ارتفاع درختان به عنوان مجموعه داده‌های آموزش و مجموعه داده‌های آزمون بود. بدین‌منظور ابتدا با شناسایی اولیه منطقه، نمونه‌برداری در سری‌های یک و دو به روش تصادفی- منظم با شبکه‌ای به ابعاد 150×200 متر، با شدت $3/3$ درصد (شدت متدالول سازمان جنگل‌ها و مراعع کشور) و قطعات نمونه دایره‌ای شکل به مساحت ۱۰ آر انجام شد (شکل ۱)، به‌طوری‌که ۳۰۸ قطعه‌نمونه در منطقه مورد مطالعه اندازه‌گیری شدند. در تمام قطعات نمونه، مشخصه‌های گونه، قطر برابر سینه و ارتفاع تمام درختان مرز با قطر برابر سینه بیشتر از $12/5$ سانتی‌متر اندازه‌گیری شدند. در مجموع ۲۱۷۷ جفت مشاهده قطر- ارتفاع اندازه‌گیری و ثبت شد. برای اندازه‌گیری قطر برابر سینه از خط کش دوبازو و متر نواری و برای اندازه‌گیری ارتفاع درختان از دستگاه ورتکس لیزری (Vertex Laser VL 402) استفاده شد.

جدول ۱- مدل‌های قطر-ارتفاع مورد استفاده در پژوهش پیش‌رو

شماره مدل	مدل	منبع
۱	$H = a + b \ln DBH$	لگاریتمی
۲	$H = a/1 + be^{-cDBH}$	لجدستیک
۳	$H = 1.30 + \frac{a}{1 + b^{-1} \times DBH^{-c}}$	لجدستیک تعدل شده
۴	$H = ae^{-e^{b-cDBH}}$	گومپرتر
۵	$H = a + b/DBH$	هایپربولیک
۶	$H = aDBH/b + DBH$	هایپربولیک
۷	$H = DBH^2/(a + bDBH)^2$	هایپربولیک
۸	$H = aDBH^b$	توانی
۹	$H = e^{a+bDBH^c}$	نمایی
۱۰	$H = ae^{\frac{b}{DBH+c}}$	نمایی
۱۱	$H = 1.30 + ae^{\frac{b}{DBH+c}}$	راتکوفسکی
۱۲	$H = a(1 - e^{-bDBH})$	نمایی
۱۳	$H = ae^{\frac{b}{DBH}}$	نمایی
۱۴	$H = 1.30 + \frac{DBH^2}{aDBH^2 + bDBH + c}$	پرودان
۱۵	$H = 1.30 + a[1 - e^{-bDBH}]^c$	چاپمن-ریچارد
۱۶	$H = 1.30 + a[1 - e^{-bDBH^c}]$	ویبول
۱۷	$H = 1.30 + a \times e^{(-bDBH^c)}$	لاندکویست-کورف
۱۸	$H = a \times DBH^{\frac{b}{DBH}}$	هندسی تعدل شده

قطر برابر سینه بر حسب سانتی‌متر، H ارتفاع کل درختان بر حسب متر و a، b و c ضریب‌های مدل DBH

اعتبارسنجی مدل‌ها به شیوه‌های مختلفی انجام می‌شود.

$$RMSE\% = RMSE/\bar{y} \times 100 \quad \text{رابطه (۲)}$$

در پژوهش پیش‌رو به منظور ارزیابی و برآش مدل‌ها، ۲۵ درصد از داده‌ها به صورت تصادفی انتخاب شدند و به عنوان مجموعه داده‌های ارزیابی از کلیه تجزیه و تحلیل‌ها کنار گذاشته شدند. با در اختیار داشتن مقادیر تخمینی (\hat{y}_i) و مقادیر حقیقی (y_i) با استفاده از معیارهای آماری محدود میانگین مربعات خطأ ($Bias$) و اریبی ($RMSE$) به صورت مطلق و نسبی، اعتبار مدل‌های آماری ارزیابی شد (رابطه‌های ۱، ۲، ۳ و ۴).

$$Bias = \sum_{i=1}^n (\hat{y}_i - y_i) / n \quad \text{رابطه (۳)}$$

$$BIAS\% = Bias/\bar{y} \times 100 \quad \text{رابطه (۴)}$$

به طوری که n تعداد نمونه‌های ارزیابی، \hat{y}_i مقدار تخمین زده شده و y_i مقدار مشاهده شده بود. همچنین علاوه بر معیارهای مذکور، تفاوت‌های بین مقادیر واقعی ارتفاع با

$$RMSE = \sqrt{\sum_{i=1}^n (\hat{y}_i - y_i)^2 / n} \quad \text{رابطه (۱)}$$

میانگین، کمینه و بیشینه قطر برابر سینه به ترتیب $38/91$ ، $12/5$ و 120 سانتی متر و ارتفاع به ترتیب $23/37$ ، $8/5$ و $34/8$ متر بود. بررسی آماره های توصیفی مشخصه های قطر برابر سینه و ارتفاع نشان داد که دامنه تغییرات این مشخصه ها زیاد بود که نشان دهنده کل دامنه مشخصه های کمی ساختار توده جنگلی مورد مطالعه است. بین آماره های توصیفی کل داده ها و داده های آموزش و آزمون تفاوت زیادی وجود نداشت (جدول ۲).

مقادیر برآورده داده های آزمون با استفاده از داده ها و مدل های مذکور نیز مقایسه شد. برای بررسی معنی دار بودن میانگین تفاوت های مقادیر واقعی با مقادیر برآورده با استفاده از مدل های مذکور، از آزمون تی جفتی استفاده شد.

نتایج

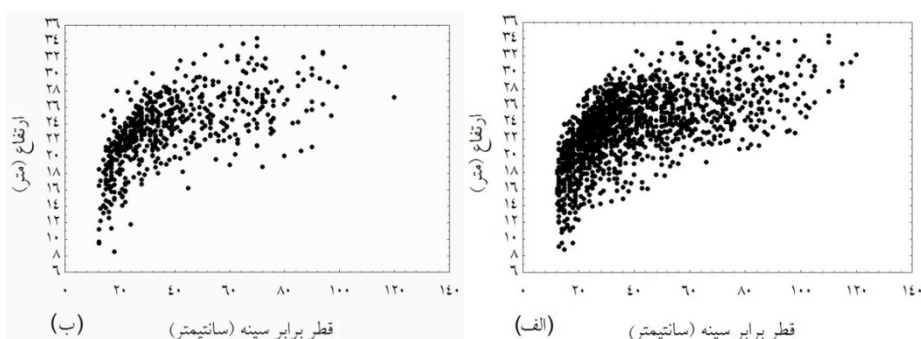
بررسی آماره های توصیفی قطر برابر سینه و ارتفاع کل درختان مرز

جدول ۲- آماره های توصیفی مشخصه های قطر برابر سینه و ارتفاع درختان مرز

ارتفاع (متر)	قطر برابر سینه (سانتی متر)			آماره های توصیفی			
	ارزیابی	مدل	کل	ارزیابی	مدل	کل	
۲۳/۳۵	۲۳/۳۸	۲۳/۳۷	۲۳/۳۷	۳۸/۷۴	۳۸/۹۶	۳۸/۹۱	میانگین
۲۳/۶۵	۲۳/۷	۲۳/۷	۲۳/۷	۳۳	۳۳	۳۳	میان
۸/۵	۸/۷	۸/۵	۸/۵	۱۲/۵	۱۲/۵	۱۲/۵	حداقل
۳۴/۴	۳۴/۸	۳۴/۸	۳۴/۸	۱۲۰	۱۲۰	۱۲۰	حداکثر
۲۵/۹	۲۶/۱	۲۶/۳	۲۶/۳	۱۰۷/۵	۱۰۷/۵	۱۰۷/۵	دامنه
۱۷/۹۳	۱۷/۷۱	۱۷/۷۶	۱۷/۷۶	۵۲/۵۱	۵۴/۳۹	۵۳/۹۱	ضریب تغییرات
۴/۱۸	۴/۱۴	۴/۱۵	۴/۱۵	۲۰/۳۴	۲۱/۱۹	۲۰/۹۸	انحراف از معیار
-۰/۳۶۶	-۰/۳۲۳	-۰/۳۳	-۰/۳۳	۱/۰۲	۱/۱۵	۱/۱۲	چولگی
۰/۵۴	۰/۴۴۳	۰/۴۶۷	۰/۴۶۷	۰/۴۱	۰/۷۷	۰/۶۹	کشیدگی
۵۴۶	۱۶۳۱	۲۱۷۷	۲۱۷۷	۵۴۶	۱۶۳۱	۲۱۷۷	تعداد

۲- ب، ابر نقاط ارتفاع درختان مرز در برابر قطر درختان را برای داده های آموزش و آزمون نشان می دهند.

بررسی توزیع داده ها نشان داد که مشخصه های قطر و ارتفاع از توزیع نرمال پیروی می کنند. شکل های ۲- الف و



شکل ۲- ابر نقاط ارتفاع درختان مرز در برابر قطر درختان برای داده های آموزش (الف) و آزمون (ب)

جدول ۳ نتایج ضریب‌های به دست آمده از برازش ۱۸ مدل رگرسیونی انتخاب شده را نشان می‌دهد.

جدول ۳- ضرایب مدل‌های رگرسیونی انتخاب شده

ضریب‌های مدل			مدل	شماره مدل
c	b	a		
-	۵/۳۸	۴/۳۹	$H = a + b \ln DBH$	لگاریتمی ۱
۰/۰۸۳	۱/۷۱	۲۶/۶۷	$H = a / 1 + be^{-c DBH}$	لجستیک ۲
۱/۵۲	۰/۰۲۵	۲۶/۹۹	$H = 1.30 + \frac{a}{1 + b^{-1} \times DBH^{-c}}$	لجستیک تعدیل شده ۳
۰/۰۷۳	۰/۱۹	۲۶/۷۹	$H = ae^{-e^{b-c DBH}}$	گومپرتر ۴
-	-۱۷۳/۸۶	۲۹/۱۷	$H = a + b / DBH$	هاپربولیک ۵
-	۱۰/۳۸	۳۰/۹۹	$H = a DBH / b + DBH$	هاپربولیک ۶
-	-۰/۱۸	-۰/۰۸	$H = DBH^2 / (a + b DBH)^2$	هاپربولیک ۷
-	۰/۲۲	۱۰/۶۹	$H = a DBH^b$	توانی ۸
۰/۰۸۱	۵۳۳۴/۴۳	۰/۴۸	$H = e^{a+b DBH^c}$	نمایی ۹
۲/۳	-۷/۷۳	۳/۰۱۳	$H = ae^{\frac{b}{DBH}+c}$	نمایی ۱۰
-	-۷/۷۳	۳۰/۰۱	$H = ae^{\frac{b}{DBH}}$	نمایی ۱۱
-۳/۰۹۵	-۶/۴۱	۲۷/۹۸	$H = 1.30 + ae^{\left(\frac{b}{DBH+c}\right)}$	راتکوفسکی ۱۲
-	۰/۰۷۱	۲۶/۶۸	$H = a(1 - e^{-b DBH})$	نمایی ۱۳
۲/۸۷	۰/۱۸	۰/۰۳۶	$H = 1.30 + \frac{DBH^2}{a DBH^2 + b DBH + c}$	پرودان ۱۴
۰/۸	۰/۰۵۷	۲۵/۷۹	$H = 1.30 + a[1 - e^{-b DBH}]^c$	چاپمن- ریچارد ۱۵
۰/۸۷	۰/۰۹۸	۲۵/۹۹	$H = 1.30 + a[1 - e^{-b DBH^c}]$	ویبول ۱۶
-۰/۳۳	۲/۳۸	۴۶/۴۳	$H = 1.30 + a \times e^{(-b DBH^c)}$	لاندکویست- کورف ۱۷
-	-۳/۱۸	۳۲/۸۷	$H = a \times DBH^{\left(\frac{b}{DBH}\right)}$	هندرسی تعدیل شده ۱۸

به استناد نتایج به دست آمده، مشخص شد که مدل رگرسیونی غیرخطی هایپربولیک (مدل پنجم)، راتکوفسکی (مدل ۱۲)، چاپمن- ریچارد (مدل ۱۵) و ویبول (مدل ۱۶) با درصد مجدد میانگین مربعات خطای به ترتیب ۱۲/۹۱، ۱۲/۰۱، ۱۳/۰۱ و ۱۳/۰۱ درصد) و درصد اریبی به ترتیب ۰/۰۲۱، ۰/۰۲۲، ۰/۰۲۰ و ۰/۰۲۲ درصد بهتر توانسته‌اند مشخصه ارتفاع را برآورد کنند (جدول ۴). البته لازم به ذکر است که نتایج همه مدل‌ها، تفاوت زیادی با یکدیگر نداشتند.

به استناد نتایج به دست آمده، مشخص شد که مدل رگرسیونی غیرخطی هایپربولیک (مدل پنجم)، راتکوفسکی (مدل ۱۲)، چاپمن- ریچارد (مدل ۱۵) و ویبول (مدل ۱۶) با درصد مجدد میانگین مربعات خطای به ترتیب ۱۲/۹۱، ۱۲/۰۱، ۱۳/۰۱ و ۱۳/۰۱ درصد) و درصد اریبی به ترتیب ۰/۰۲۱، ۰/۰۲۲، ۰/۰۲۰ و ۰/۰۲۲ درصد بهتر توانسته‌اند مشخصه ارتفاع را برآورد کنند (جدول ۴). البته لازم به ذکر است که نتایج همه مدل‌ها، تفاوت زیادی با یکدیگر نداشتند.

جدول ۴- مقادیر محاسبه شده مجازور میانگین مربعات خطأ، درصد مجازور میانگین مربعات خطأ، اریبی و درصد اریبی برای مشخصه ارتفاع با استفاده از ۱۸ مدل انتخاب شده

نوع مدل	مدل	R	مجذور میانگین مربعات خطأ	درصد مجازور میانگین مربعات خطأ	اریبی	درصد اریبی
لگاریتمی	$H = a + b \ln DBH$	۰/۶۶۹	۳/۱۳۲	۱۳/۴۱	۰/۰۲۹۸	۰/۱۲۸
لجستیک	$H = \frac{a}{1 + be^{-cDBH}}$	۰/۶۸	۳/۰۵	۱۳/۰۵	۰/۰۵۱	۰/۲۲
لجستیک تعديل شده	$H = 1.30 + \frac{a}{1 + b^{-1} \times DBH^{-c}}$	۰/۶۸۸	۳/۰۲۳	۱۲/۹۵	۰/۰۴۹	۰/۰۲۱
گومبرتز	$H = ae^{-e^{b-cDBH}}$	۰/۶۸۱	۳/۰۴	۱۳/۰۲۱	-۰/۰۱۷	-۰/۰۷۳
هاپربولیک	$H = a + \frac{b}{DBH}$	۰/۶۸۹	۳/۰۱۵	۱۲/۹۱	۰/۰۴۹	۰/۲۱
هاپربولیک	$H = aDBH / b + DBH$	۰/۶۸۴	۳/۰۵۷	۱۲/۰۹۶	۰/۰۰۲	۰/۲
هاپربولیک	$H = DBH^2 / (a + bDBH)^2$	۰/۶۸۶	۳/۰۴	۱۳/۰۴	۰/۰۵	۰/۱۹
توانی	$H = aDBH^b$	۰/۶۵۸	۳/۱۸	۱۳/۶۱	۰/۰۳	۰/۱۳
نمایی	$H = e^{a+bDBH^c}$	۰/۶۵۴	۳/۱۹	۱۳/۶۸	۰/۰۲۵	۰/۱۱
نمایی	$H = ae^{\frac{b}{DBH}+c}$	۰/۶۸۷	۳/۰۳	۱۲/۹۸	۰/۰۵	۰/۲
نمایی	$H = ae^{\frac{b}{DBH}}$	۰/۶۸۷	۳/۰۳۲	۱۲/۹۸	۰/۰۴۷	۰/۲
راتکوفسکی	$H = 1.30 + ae^{\left(\frac{b}{DBH+c}\right)}$	۰/۶۸۹	۳/۰۲	۱۲/۹۲	۰/۰۴۹	۰/۲۱
نمایی	$H = a(1 - e^{-bDBH})$	۰/۶۸۲	۳/۰۳	۱۲/۹۷	۰/۰۵	۰/۲
پرودان	$H = 1.30 + \frac{DBH^2}{aDBH^2 + bDBH + c}$	۰/۶۸۸	۳/۲۷	۱۴/۰۰۵	-۱/۲۵	-۵/۳۵
چاپمن- ریچارد	$H = 1.30 + a[1 - e^{-bDBH}]^c$	۰/۶۸۴	۳/۰۳	۱۳/۰۱	۰/۰۵۲	۰/۲۲
ویبول	$H = 1.30 + a[1 - e^{-bDBH^c}]$	۰/۶۸۸	۳/۰۳۸	۱۳/۰۱	۰/۰۵۲	۰/۲۲
لاندکویست- کورف	$H = 1.30 + a \times e^{(-bDBH^c)}$	۰/۶۷۲	۳/۱۲	۱۳/۳۵	۰/۰۳۲	۰/۱۴
هندسی تعديل شده	$H = a \times DBH^{\left(\frac{b}{DBH}\right)}$	۰/۶۸	۳/۰۸	۱۳/۱۸	۰/۰۴	۰/۱۸

کمترین انحراف معیار مقادیر تفاوت‌ها (به ترتیب با مقادیر ۲، ۳/۰۲، ۳/۰۴ و ۳/۰۴ متر) بودند. همچنین به جز مدل پرودان، تفاوت بین مقادیر برآورده شده همه مدل‌ها با مقادیر واقعی در سطح اطمینان ۹۵ درصد معنی‌دار نبود (جدول ۵).

نتایج به دست آمده از بررسی میانگین تفاوت‌های مقادیر مشاهده شده با مقادیر برآورده شده مشخصه ارتفاع با استفاده از ۱۸ مدل انتخاب شده نشان داد که مدل‌های رگرسیونی غیرخطی هایپربولیک (مدل پنج)، راتکوفسکی (مدل ۱۲)، چاپمن- ریچارد (مدل ۱۵) و ویبول (مدل ۱۶) دارای

جدول ۵- تفاوت‌های مقادیر واقعی با مقادیر برآورده شده مشخصه ارتفاع با استفاده از مدل‌های رگرسیونی غیرخطی انتخاب شده

نحوه از معیار تفاوت‌ها	میانگین تفاوت‌ها	معنی‌داری	آماره t	میانگین برآورده شده	میانگین واقعی	مدل
۳/۱۳	-۰/۰۳	۰/۸۲ ns	-۰/۲۲	۲۲/۳۸	۲۲/۳۵	$H = a + b \ln DBH$
۳/۰۵	۰/۰۵۱	۰/۷ ns	-۰/۳۹	۲۲/۴	۲۲/۳۵	$H = \frac{a}{1 + be^{-cDBH}}$
۳/۰۲۶	-۰/۰۵	۰/۷ ns	-۰/۳۸	۲۲/۴	۲۲/۳۵	$H = 1.30 + \frac{a}{1 + b^{-1} \times DBH^{-c}}$
۳/۰۴	۰/۰۱۷	۰/۹ ns	۰/۱۳	۲۲/۲۳	۲۲/۳۵	$H = ae^{-e^{b-cDBH}}$
۳/۰۲	۰/۰۵	۰/۷ ns	۰/۳۸	۲۲/۴	۲۲/۳۵	$H = a + b/DBH$
۳/۰۶	-۰/۰۵	۰/۷۲ ns	-۰/۳۵	۲۲/۳۹	۲۲/۳۵	$H = aDBH/b + DBH$
۳/۰۴۷	۰/۰۴۷	۰/۷۲ ns	-۰/۳۶	۲۲/۳۹	۲۲/۳۵	$H = DBH^2/(a + bDBH)^2$
۳/۱۸	۰/۰۳	۰/۸۲ ns	-۰/۲۲	۲۲/۴	۲۲/۳۵	$H = aDBH^b$
۳/۲	-۰/۰۲۵	۰/۸۵ ns	۰/۱۸	۲۲/۳۷	۲۲/۳۵	$H = e^{a+bDBH^c}$
۳/۰۳۴	-۰/۰۵	۰/۷۲ ns	-۰/۰۲۶	۲۲/۴	۲۲/۳۵	$H = ae^{\frac{b}{DBH+c}}$
۳/۰۳۵	-۰/۰۴۷	۰/۷۲ ns	-۰/۳۶۵	۲۲/۳۹	۲۲/۳۵	$H = ae^{\frac{b}{DBH}}$
۳/۰۲	۰/۰۴۹	۰/۷ ns	-۰/۳۸	۲۲/۴	۲۲/۳۵	$H = 1.30 + ae^{\left(\frac{b}{DBH+c}\right)}$
۳/۰۳۲	-۰/۰۴۵	۰/۷۲ ns	۰/۳۶	۲۲/۳۹	۲۲/۳۵	$H = a(1 - e^{-bDBH})$
۳/۰۲۳	۱/۲۵	۰/۰۰۰**	۹/۶۷	۲۲/۰۹۶	۲۲/۳۵	$H = 1.30 + \frac{DBH^2}{aDBH^2 + bDBH + c}$
۳/۰۴	-۰/۰۵	۰/۶۹ ns	-۰/۳۹۹	۲۲/۴	۲۲/۳۵	$H = 1.30 + a[1 - e^{-bDBH}]^c$
۳/۰۴	-۰/۰۵	۰/۶۹ ns	-۰/۴	۲۲/۴	۲۲/۳۵	$H = 1.30 + a[1 - e^{-bDBH^c}]$
۳/۱۲	-۰/۰۳۲	۰/۸۱ ns	-۰/۲۴	۲۲/۳۸	۲۲/۳۵	$H = 1.30 + a \times e^{(-bDBH^c)}$
۳/۰۸	-۰/۰۴	۰/۷۵ ns	-۰/۳۲	۲۲/۳۹	۲۲/۳۵	$H = a \times DBH^{\left(\frac{b}{DBH}\right)}$

** معنی‌دار در سطح اطمینان ۹۹ درصد؛ ns غیرمعنی‌دار

بحث

هدف اصلی آماربرداری جنگل، آماده کردن اطلاعات دقیق و بهنگام برای برنامه‌ریزی، مدیریت منابع جنگلی، توسعه سیاست‌ها و برنامه‌های حفاظتی است که این تصمیم‌گیری‌ها نیازمند اطلاعات دقیق از کل منطقه است. بررسی نتایج به دست آمده از آماره‌های توصیفی داده‌های زمینی قطر برابر سینه و ارتفاع نشان داد که این داده‌ها واریانس و دامنه تغییرات زیادی در منطقه مورد مطالعه داشتند که بیان‌کننده این مطلب است که قطعات نمونه زمینی از یک دامنه وسیع قطر برابر سینه ۱۲/۵ تا ۱۲۰ سانتی‌متر و ارتفاع ۸/۵ تا ۳۴/۸ متر انتخاب شده‌اند. این مسأله بیان‌گر

نتایج به دست آمده از تحلیل باقیمانده‌های مدل‌های رگرسیونی غیرخطی هایپربولیک (مدل پنج)، راتکوفسکی (مدل ۱۲)، چاپمن- ریچارد (مدل ۱۵) و ویبول (مدل ۱۶) نشان داد که میانگین باقیمانده‌ها به طور تقریب صفر و دارای توزیع نرمال بود. همچنین هیستوگرام باقیمانده‌ها چولگی نداشت و نمودار باقیمانده‌ها در مقابل مقادیر تطبیق‌یافته نشان از پراکنش یکنواخت در دو سوی محور صفر و ثبات واریانس داشت که مؤید تناسب مدل‌های رگرسیونی به داده‌ها بود.

میانگین مقادیر برآورده شده ارتفاع با مقادیر واقعی ارتفاع نیز نشان داد که مدل‌های هایپربولیک و راتکوفسکی مقادیر ارتفاع را بیشتر از مقدار واقعی و مدل‌های چاپمن- ریچارد و ویبول مقادیر ارتفاع را کمتر از مقدار واقعی برآورد کردند. با توجه به نتایج بدست آمده از پژوهش پیش‌رو و مقایسه آن با مطالعات دیگر، درنهایت می‌توان چنین نتیجه‌گیری کرد که مدل‌های رگرسیونی غیرخطی هایپربولیک، راتکوفسکی، چاپمن- ریچارد و ویبول، نتایج مشابه و نزدیک به یکدیگر داشته و توانایی خوبی در برآورد ارتفاع درختان مرز با دقت مناسب داشتند، بنابراین این مدل‌ها می‌توانند در برآورد ارتفاع درختان مرز در صورت تأیید و تکرار این نتایج در مناطق جنگلی دیگر شمال ایران در جنگل‌های پهن‌برگ استفاده شوند. مقایسه نتایج به دست آمده از پژوهش پیش‌رو با مطالعات دیگر انجام شده نشان داد که درصد مجدور میانگین مربعات خطأ و انحراف معیار تفاوت‌های به دست آمده در پژوهش پیش‌رو برای ارتفاع بیشتر است که به عامل‌هایی مانند نوع توده (پهن‌برگ یا سوزنی‌برگ)، ناهمسال یا همسال بودن، منظم یا نامنظم بودن و نوع مدل مورد استفاده و به کارگیری الگوریتم‌های دیگر مانند شبکه عصبی مصنوعی و غیره برمی‌گردد. امید است که تحقیقات تکمیلی در مورد استفاده از الگوریتم‌های دیگر برآورد، مانند مدل‌های تعمیم‌یافته، رندوم فورست، Mixed GAM, SVM, Knn، شبکه عصبی مصنوعی، Model Effects گونه‌های دیگر در مناطق دیگر جنگل‌های هیرکانی انجام شود تا بتوان از اطلاعات دقیق در برنامه‌ریزی، مدیریت پایدار منابع جنگلی و برنامه‌های حفاظتی استفاده کرد و بتوان این مدل‌ها را به صورت عملیاتی در برنامه‌ریزی جنگل به کار برد.

References

- Ahmadi, K., Alavi, J., Tabari, M., and Aertsen, W., 2013. Non-linear height-diameter models for oriental beech (*Fagus orientalis* Lipsky) in the Hyrcanian forests, Iran. Biotechnology, وضعیت متفاوت ساختار توده جنگلی در منطقه مورد مطالعه است، بنابراین می‌توان نتیجه گرفت که منطقه مورد مطالعه نمونه خوبی از جنگل‌های خزری بوده است و به طور تقریب تمامی قطر و ارتفاع درختان مرز را دربر گرفته است.
- نتایج بدست آمده از مدل‌سازی رابطه قطر- ارتفاع با استفاده از ۱۸ مدل رگرسیونی غیرخطی نشان داد که مدل‌های رگرسیونی غیرخطی هایپربولیک، راتکوفسکی، چاپمن- ریچارد و ویبول با میزان درصد مجدور میانگین مربعات خطأ به ترتیب ۱۲/۹۱، ۱۲/۹۲، ۱۳/۰۱ و ۱۳/۰۱ درصد، درصد اریبی به ترتیب ۰/۲۱، ۰/۲۲، ۰/۰۵ و ۰/۰۵، میانگین تفاوت‌های مقادیر برآورده شده با مقادیر واقعی به ترتیب ۰/۰۱۷، ۰/۰۴۹، ۰/۰۴۹ و ۰/۰۵ و انحراف معیار تفاوت‌های مقادیر برآورده شده با مقادیر واقعی به ترتیب ۳/۰۲، ۳/۰۴ و ۳/۰۴، بهتر توانستند ارتفاع درختان مرز را برآورد کنند. به طور کلی نتایج بدست آمده از معیارهای ارزیابی (درصد مجدور میانگین مربعات خطأ، اریبی و انحراف معیار تفاوت‌های مقادیر برآورده شده با مقادیر واقعی) تفاوت زیادی با یکدیگر نداشتند و از نظر آماری نیز به جز مدل پروردان، تفاوت معنی‌داری بین مقادیر برآورده شده با استفاده از مدل‌های مختلف با مقادیر واقعی در سطح اطمینان ۹۵ درصد وجود نداشت و چهار مدل ذکر شده دارای کمترین مقدار درصد مجدور میانگین مربعات خطأ بودند. همچنین عدم چولگی هیستوگرام باقیمانده‌ها، میانگین به طور تقریب صفر باقیمانده‌ها، توزیع نرمال و پراکنش یکنواخت در دو سوی محور صفر مؤید تناسب مدل‌های رگرسیونی با داده‌ها بود.
- مجدور میانگین مربعات خطأ به دست آمده در پژوهش پیش‌رو (حدود سه متر) در مقایسه با مطالعات دیگر که حدود دو تا چهار متر بود (Fang & Baily, 1998; Castedo *et al.*, 2006; Ahmadi *et al.*, 2013; Temesgen *et al.*, 2014 همسو با مطالعات انجام شده پیشین (Zhang, 1997;)، مدل‌های ریچارد- چاپمن و ویبول بهتر توانستند ارتفاع درختان مرز را برآورد کنند. بررسی

- Forest Recourse Laboratory, USA, 49p.
- Lumbres I.R.C., Lee, Y.J., Seo, Y.O., Kim, S.H., Chio, J.K. and Lee, W.K., 2011. Development and validation of nonlinear height-DBH models for major coniferous tree species in Korea. *Forest Science and Technology*, 7: 117-125.
 - Meyer, H.A., 1940. A mathematical expression for height curves. *Journal of Forestry*, 38: 415-420.
 - Morrison, M.L., Marcot, B.G. and Mannan, R.W., 1992. *Wildlife Habitat Relationships: Concepts and Applications*. University of Wisconsin Press, Madison, 343p.
 - Newton, P.F. and Ampsonah, I.G., 2007. Comparative evaluation of five height-diameter models developed for black spruce and jack pine stand-types in terms of goodness-of-fit, lack-of-fit and predictive ability. *Forest Ecology and Management*, 247: 149-166.
 - Özçelik, R., Diamantopoulou, M.J., Crecente-Campo, F. and Eler, F., 2013. Estimating Crimean juniper tree height using nonlinear regression and artificial neural network models. *Forest Ecology and Management*, 306: 52-60.
 - Parresol, B.R., 1992. Bald cypress height-diameter equations and their prediction confidence intervals. *Canadian Journal of Forest Research*, 22(9), 1429-1434.
 - Pearl, R. and Reed, L.J., 1920. On the rate of growth of the population of the United States since 1790 and its mathematical representation. *Proceedings of the National Academy of Sciences*, Vol. 6. Baltimore, Maryland, 15 June 1920: 275-288.
 - Peng, C., Zhang, L. and Liu, J., 2001. Developing and validating nonlinear height-diameter models for major tree species of Ontario's boreal forest. *Northern Journal Application of Forestry*, 18: 87-94.
 - Prodan, M. and Gardiner, S.H., 1968. *Forest Biometrics*. Pergamon Press, Oxford, 447p.
 - Ratkowsky, D.A. and Reedy, T.J., 1986. Choosing near-linear parameters in the four-parameter logistic model for radioligand and related assays. *Biometrics*, 42: 575-582.
 - Sharma, M. and Zhang, S.Y., 2004. Height-diameter models using stand characteristics for *Pinus banksiana* and *Picea mariana*. *Scandinavian Journal of Forest Research*, 19: 442-451.
 - Stage, A.R., 1975. Prediction of Height Agronomy, Society and Environment Journal, 17(3): 431-440 (In Persian).
 - Bailey, R.L., 1979. The potential of Weibull-type functions as flexible growth curves: Discussion. *Canadian Journal of Forest Research*, 10: 117-118.
 - Buford, M.A., 1986. Height-diameter relationship at age 15 in loblolly pine seed sources. *Forest Science*, 32: 812-818.
 - Castano-Santamaria, J., Crecente-Campo, F., Fernandez-Martinez, J.L., Barrio-Anta, M. and Obeso, J.R., 2013. Tree height prediction approaches for uneven-aged beech forests in northwestern Spain. *Forest Ecology and Management*, 307: 63-73.
 - Castedo, F., Dieguez-Aranda, U., Barrio, M., Sanchez, M.R. and von Gadow, K., 2006. A generalized height-diameter model including random components for radiate pine plantations in northwestern Spain. *Forest Ecology and Management*, 229: 202-213.
 - Curtis, R.O., 1967. Height-diameter and height-diameter-age equations for secondgrowth Douglas-fir. *Forest Science*, 13: 365-375.
 - Dorado, F.C., Dieguez-Aranda, U., Rodriguez, M.S., Sanchez, M. and Gadow, K.V., 2006. A generalized height-diameter model including random components for radiata pine plantations in northwestern Spain. *Forest Ecology and Management*, 229: 202-213.
 - Fang, Z. and Bailey, R.L., 1998. Height-diameter models for tropical forest on Hainan Island in southern China. *Forest Ecology and Management*, 110: 315-327.
 - Farr, W.A., DeMars, D.J. and Dealy, J.E., 1989. Height and crown width related to diameter for open-grown western hemlock and Sitka spruce. *Canadian Journal of Forest Research*, 19: 1203-1207.
 - Gadow, K.V., Real, P. and Alvarez Gonzalez, J.G., 2001. *Modelizacion del Crecimiento y la Evolucion de los Bosques*. IUFRO World Series, Vol. 12, Vienna, 21p.
 - Huang, S., Titus, S.J. and Wiens, D.P., 1992. Comparison of nonlinear height-diameter functions for major Alberta tree species. *Canadian Journal of Forest Research*, 22: 1297-1304.
 - Larsen, D.R. and Hann, D.W., 1987. Height-diameter Equations for Seventeen Tree Species in Southwest Oregon. Oregon State University,

- Cobos, F., 2009. A generalized height-diameter model with random coefficients for uneven-aged stands in El Salto, Durango (Mexico). *Forestry*, 82: 445-462.
- Yuancai, L. and Parresol, B.R., 2001. Remarks on height-diameter modelling. Research Note SE-10, USDA, Forest Service, Southern Research Station, Asheville, NC, USA, 8p.
- Zhang, L., 1997. Cross-validation of nonlinear growth functions for modeling tree height-diameter distributions. *Annals of Botany*, 79: 251-257.
- Increment for Models of Forest Growth. Research Paper INT-164, Published by U.S. Department of Agriculture, Forest Service, Intermountain Forest and Range Experiment Station, Ogden, Utah, USA, 32p.
- Temesgen, H., Zhang, C.H. and Zhao, X.H., 2014. Modelling tree height-diameter relationships in multi-species and multi-layered forests: A large observational study from northeast China. *Forest Ecology and Management*, 316: 78-89.
- Vargas-Larreta, B., Dorado, F.C., Lvarez-Gonzalez, G.J., Barrio-Anta, M. and Cruz-

Study of different height-diameter models for hornbeam (*Carpinus betulus L.*) in uneven-aged stands of Shastkalateh forest of Gorgan

J. Mohammadi^{1*} and Sh. Shataee²

1*- Corresponding author, Assistant Prof., Department of Forestry, Faculty of Forest Science, Gorgan University of Agricultural Sciences and Natural Resources, Gorgan, Iran. Email: mohamadi.jahangir@gmail.com
2- Associate Prof., Department of Forestry, Faculty of Forest Science, Gorgan University of Agricultural Sciences and Natural Resources, Gorgan, Iran

Received: 23.02.2016

Accepted: 06.04.2016

Abstract

Projection of stand development over time relies on accurate height-diameter functions. In this study, we evaluated the capability of 18 nonlinear models to estimate hornbeam heights in a portion Shastkalateh experimental forest in Gorgan, Golestan province. We applied a systematic random sampling method to collect field data within a 150×200 meter network (3.33% intensity). It resulted in 308 circular plots with 17.84 m (0.1 ha) radius. In each plot tree species, height and diameter at breast height (DBH) of all trees with DBH>12.5 cm were measured, resulting in 2177 pairs of measured height-diameter. From the available dataset, we included 75% in the model development and the remaining 25% to validate the models. The relationship between height (dependent variable) and DBH (independent variable) was analyzed using 18 non-linear regression models. The results showed no significant difference between the applied model diagnostics, and the applied t-test showed non-significant mean stand height estimation using all models and actual height at 99% confidence level, with the exception of the Prodan model. In addition, the results of Hyperbolic, Ratkofsky, Richard-chapman and Weibull models with RMSE% of 12.91%, 12.92%, 13.01% and 13.01% and Bias% of 0.21%, 0.21%, 0.22% and 0.22%, respectively were almost similar in that they were better predictors of hornbeam height. Based on the results, we conclude that these models can be used for predicting hornbeam height in similar broadleaved stands of northern Iran, provided that comparative studies are conducted elsewhere to approve the results obtained here.

Keywords: Height-diameter model, hornbeam, inventory, Shast Kalateh of Gorgan.